

Температурная зависимость запрещенной зоны полностью фторированных/гидрированных углеродных нанотрубок: роль одномерных цепочек

В. Л. Катков¹⁾, В. А. Осипов¹⁾

Лаборатория теоретической физики имени Н. Н. Боголюбова,
Объединенный институт ядерных исследований, 141980 Дубна, Россия

Поступила в редакцию 10 октября 2023 г.

После переработки 17 октября 2023 г.

Принята к публикации 18 октября 2023 г.

Теоретически исследована температурная зависимость величины запрещенной зоны $E_g(T)$ в одностенных углеродных нанотрубках типа “зигзаг” при максимальном (50-процентном) фторировании и гидрировании для трех вариантов покрытия. Показано, что характер покрытия критически влияет на зависимость $E_g(T)$, которая может меняться в широких пределах от очень слабой, характерной для чистых углеродных нанотрубок, до сильной, типичной для объемных полупроводников. Характер температурного поведения $E_g(T)$ напрямую связан с формированием в трубках одномерных альтернированных цепочек. Основными факторами, определяющими данную зависимость, являются диаметр углеродных нанотрубок, способ расположения примеси и ее тип.

DOI: 10.31857/S1234567823220081, EDN: pixldd

Введение. Уникальные свойства углеродных нанотрубок (УНТ) обусловливают возможности их широкого практического применения вnanoэлектронике, оптоэлектронике и других областях. В настоящее время наибольший интерес вызывает использование однослойных УНТ при создании инфракрасных сенсоров и биосенсоров, интегральных схем, полевых транзисторов, ячеек памяти, элементов солнечных батарей (см., например, обзор [1]). Ключевую роль при проектировании таких устройств играет наличие энергетической щели в электронном спектре и возможность управления ее величиной (*band engineering*). Также важной характеристикой для различных приложений в тунNELьной электронике, оптоэлектронике, исследовании оптических свойств (спектры пропускания и поглощения), люминесценции и т.д. является зависимость величины запрещенной зоны от температуры. Поскольку в УНТ запрещенная зона прямо связана с диаметром ($E_g \sim 1/d$) и хиральностью, появляется возможность подбирать необходимое значение путем использования наиболее подходящей для конкретных целей УНТ. Следующим шагом, расширяющим возможность настройки запрещенной зоны, является химическая функционализация УНТ. Экспериментальные и теоретические исследования показали, что имеется лишь ограничение

число перспективных вариантов химической функционализации графеноподобных материалов. Фактически, относительно надежно такие материалы могут быть покрыты фтором, водородом и кислородом (см., например, [2–4]).

Как было показано в [5], чистые УНТ делятся на два семейства, для каждого из которых тип зависимости запрещенной зоны от температуры принципиально различен. Монотонная зависимость, типичная для большинства полупроводников, характерна для нанотрубок с индексами хиральности m и n , удовлетворяющими условию $(m - n)\text{mod}3 \neq 2$. Принципиально иной тип зависимости характерен для семейства $(m - n)\text{mod}3 = 2$. Здесь имеет место увеличение запрещенной зоны с ростом температуры, но затем происходит изменение поведения, и при дальнейшем росте T величина $E_g(T)$ начинает падать. В нашем исследовании мы будем рассматривать три нанотрубки типа “зигзаг” с увеличивающимся радиусом: двух характерных представителей первого семейства $(10, 0)$ и $(12, 0)$ и одного второго $(14, 0)$, в условиях фторирования и гидрирования.

Эксперименты по фторированию одностенных УНТ показывают, что наибольшей степени фторирования соответствует стехиометрия C_2F [6]. Этот факт подтверждается также и теоретическими расчетами [7, 8]. Вместе с тем, DFT-расчеты демонстрируют, что использование в качестве ковалентной при-

¹⁾e-mail: katkov@theor.jinr.ru; osipov@theor.jinr.ru

меси водорода вместо фтора порождает структуры C_2H , аналогичные структурам C_2F по расположению атомов [9]. Сравнение энергий связи для аналогично допированных углеродных квантовых точек при замене водорода фтором проведено в работе [10].

Целью данной работы является выявление особенностей влияния характера покрытия и типа примеси на температурную зависимость $E_g(T)$ для максимально фторированных и гидрированных односленных УНТ. Мы рассмотрим три варианта расположения примесных атомов, которые возникают при максимальном (50 %) заполнении [8], назовем их “линия”, “спираль” и “цепочка” (см. рис. 1). Как и в работах [7–9] будет исследована УНТ (10, 0), дополнительно – УНТ (12, 0), а также (14, 0), как представитель семейства $(m-n)\text{mod}3 = 2$, которое имеет немонотонное поведение $E_g(T)$ в случае чистых УНТ.

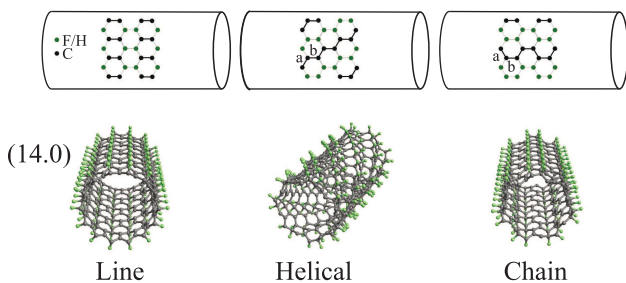


Рис. 1. (Цветной онлайн) Три возможных типа максимального фторирования/гидрирования: “линия”, “спираль” и “цепочка”. Схема конфигурации атомов фтора/водорода. Жирными линиями выделены π -связи углерода, образующие димеры, транс- и цис-конфирированные цепочки, соответственно. Ниже вид УНТ (14, 0) с соответствующим типом допирования

Метод расчета. Проблема адекватного расчета $E_g(T)$ и оценка вклада в эту величину нулевых колебаний атомов имеет богатую историю (см., например, [11, 12]). Недавно был предложен очередной эффективный подход, основанный на методе “специального смещения” (*the special displacement method*) [13, 14]. С помощью данного метода были рассчитаны зависимости $E_g(T)$ для различных графеновых квантовых точек [15], а его модификации в комбинации с GW-приближением и методом Монте-Карло были использованы для вычисления перенормировки запрещенной зоны в различных полупроводниках [16–18]. В какой-то мере данный подход можно рассматривать как развитие методов “термической линии” [19] и “замороженных фононов” [5]. В данной работе мы использовали метод “замороженных фононов”, поскольку расчеты показали, что для

рассматриваемых УНТ он является менее требовательным к вычислительным ресурсам при том, что дает идентичные результаты.

Суть метода заключается в том, что для достаточно большой суперячейки производится расчет спектра мод фононных колебаний $\{\omega_i\}$ и соответствующего набора векторов поляризации $\{\mathbf{e}_i\}$, нормированных обычным образом $\mathbf{e}_i \mathbf{e}_j = \delta_{ij}$. Размер суперячейки выбирается так, чтобы дальнейшее его увеличение не влияло на полученные результаты (в наших расчетах все ячейки имели размер порядка 10^3 атомов). Затем для каждой i -й моды дважды производится смещение всех атомов суперячейки на величины “замороженного” фононного смещения $\pm \mathbf{x}_i$:

$$\mathbf{x}_i = \sqrt{\frac{\hbar}{m_\alpha \omega_i}} \mathbf{e}_i(\alpha). \quad (1)$$

Здесь m_α – масса атома α . После смещения для каждой полученной конфигурации вычисляется энергетический спектр, в частности, позиция дна зоны проводимости (LUMO), вершины валентной зоны (HOMO) и запрещенная зона $E_g(\pm \mathbf{x}_i)$. Всего колебательных мод $3N$, где N – число атомов в суперячейке, а с учетом того, что каждой моде соответствует два смещения, произвести расчет спектра необходимо для $6N$ конфигураций. Далее необходимо дважды найти разницу между значением искомой величины в структуре без смещений атомов и в структуре, искаженной фононной модой: $\Delta E_g(\pm \mathbf{x}_i) = E_g(\pm \mathbf{x}_i) - E_g(0)$, а затем провести усреднение, избавившись от возможных линейных вкладов:

$$\frac{\partial E_g}{\partial n_i} \equiv \frac{\Delta E_g(+\mathbf{x}_i) + \Delta E_g(-\mathbf{x}_i)}{2}. \quad (2)$$

Полученный в итоге набор значений $\{\partial E_g / \partial n_i\}$ характеризует степень влияния каждой фононной моды на величину запрещенной зоны. Температурная зависимость запрещенной зоны $\Delta E_g(T) = E_g(T) - E_g(0)$ может быть найдена согласно соотношению

$$\Delta E_g(T) = \sum_i \frac{\partial E_g}{\partial n_i} n_i(T), \quad (3)$$

где $n_i(T) = [\exp(\hbar\omega_i/k_B T) - 1]^{-1}$ – распределение Бозе–Эйнштейна.

Оптимизация структур и вычисление мод фононных колебаний были проведены с использованием программного пакета DFTB+ (в том числе программы MODES) [20] и применением метода параметризации интегралов сильной связи GFN1-xTB [21]. Выбор метода GFN1-xTB обусловлен тем, что рассчитанные с его помощью фононные спектры чистых

УНТ оказались наиболее близки к таковым, полученным ранее методом DFT [22]. Для расчета положения энергетических уровней с нужной точностью были использованы, создаваемые DFTB+ матрицы параметров перескока H и соответствующие матрицы перекрытия волновых функций S (аналогично работе [23]).

Результаты и обсуждение. Зависимость величины $\Delta E_g(T)$ для чистых нанотрубок $(10, 0)$ и $(14, 0)$ представлена на рис. 2. Полученные результаты практически идентичны таковым в [5], что указывает на адекватность использования DFTB+ для решения подобных задач.

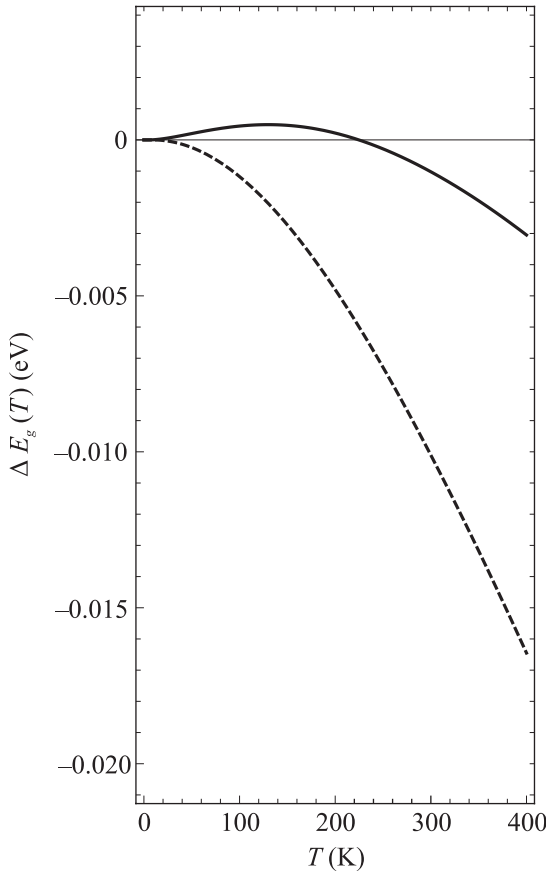


Рис. 2. $\Delta E_g(T)$ для УНТ $(14, 0)$ – сплошная линия и УНТ $(10, 0)$ – пунктирная линия

Все рассматриваемые допированные УНТ оказались полупроводниками, в том числе фторированная $(10, 0)$ типа “цепочка”. Это, с одной стороны, не согласуется с работой [7], где также был использован метод DFTB, но соответствует работе [8], где величина запрещенной зоны была получена из первых принципов и определена как 0.9 эВ. На наш взгляд, указанное отличие связано с тем, что при использовании DFTB+ мы применяем другой, не такой как

в [7], метод параметризации интегралов перескока. Полученные при нулевой температуре значения запрещенных зон приведены в табл. 1.

Таблица 1. Запрещенная зона для всех рассмотренных структур с примесью фтор/водород (в эВ)

	Линия	Сpirаль	Цепочка
$(10, 0)$	2.47/ 3.81	1.24/ 1.02	0.42/0.46
$(12, 0)$	2.48/3.58	1.14/1.01	0.59/0.62
$(14, 0)$	2.48/3.41	1.11/0.99	0.73/0.78

Как было указано в работе [7], критическим фактором, влияющим на величину $E_g(T)$, является следующий: изолирован или нет свободный от ковалентной примеси углерод, связанный π -электронами. Как видно из рис. 1, в случае УНТ типа “линия” островки двойных π -связей изолированы друг от друга атомами, соединенными с примесью. В этом случае запрещенная зона достаточно велика (порядка 3 эВ) для всех УНТ независимо от типа примеси. Проведенный нами анализ парциального вклада орбиталей в плотность энергетических состояний также показывает, что в этом случае уровни HOMO и LUMO образованы с участием электронов атомов Н и F. Поскольку орбитали примесных атомов непосредственно участвуют в формировании запрещенной зоны, ее зависимость от типа атома достаточно велика.

В случае УНТ типа “спираль” атомы углерода образуют цепочки с транс-конфигурацией. При этом запрещенная зона существует, но ее значение относительно невелико (порядка 1 эВ). Природа появления запрещенной зоны обусловлена альтернированным характером таких цепочек. Длины связи в ней чередуются (см. табл. 2) и, соответственно, череду-

Таблица 2. Длины чередующихся связей (a, b), изображенных на рис. 1, для π -цепочек (в пм)

	Сpirаль	Цепочка
$(10, 0)$ C ₂ F	(135.2, 144.9)	(142.2, 139.3)
C ₂ H	(135.0, 144.7)	(141.9, 137.2)
$(12, 0)$ C ₂ F	(135.6, 145.2)	(143.0, 138.8)
C ₂ H	(135.3, 144.9)	(142.4, 136.6)
$(14, 0)$ C ₂ F	(135.9, 145.3)	(143.5, 138.5)
C ₂ H	(135.6, 145.1)	(143.1, 136.6)

ются интегралы перескока между ближайшими атомами. Такую картину также подтверждает анализ парциальной плотности состояний, который показывает, что уровни HOMO и LUMO образованы исключительно орбиталами атомов π -связанных цепочек. Следствием этого, в частности, является то, что зна-

чение запрещенной зоны слабо зависит от типа примеси (см. табл. 1).

УНТ типа “цепочка” содержат цис-конфигурированные цепочки свободных от примеси атомов углерода, вытянутые вдоль оси трубы. Они также имеют чередующиеся связи (см. табл. 2), которые отвечают за запрещенную зону в УНТ. В данном случае, в отличие от остальных, E_g растет с увеличением диаметра.

Температурная зависимость $\Delta E_g(T)$ для всех рассмотренных УНТ показана на рис. 3. Как видно, для УНТ типа “линия” имеет место заметное усиление зависимости $\Delta E_g(T)$ по сравнению с таковой для чистых УНТ. Такое поведение можно объяснить, если принять во внимание, что запрещенная зона в таких УНТ сформирована как орбиталями углерода, так и орбиталями примесных атомов, которые имеют свое колебательное поведение. Согласно (1), более легкий по сравнению с фтором водород приводит к более сильным искажениям структуры, что в итоге проявляется в заметном усилении электрон-фононного взаимодействия для C_2H .

Наиболее интересен случай УНТ типа “цепочка”. Здесь наблюдается изменение $\Delta E_g(T)$ в зависимости от диаметра УНТ, причем с ростом диаметра происходит увеличение наклона $\Delta E_g(T)$ как для случая фтора, так и для случая водорода. Для случая водорода эта закономерность проявляется гораздо заметнее. Такое поведение можно объяснить, если обратиться к анализу спектров $\{\partial E_g / \partial n_i\}$. Как и в случае чистых УНТ [5], наибольшее значение в этом наборе имеют коэффициенты, соответствующие низколежащим оптическим модам, изменяющим форму УНТ единообразно вдоль ее оси (так называемые “shape-deformation modes”). Они являются аналогом поперечных акустических колебаний (ZA-ветки) в графене. Согласно (3), чем ниже энергия моды, тем больший вклад она внесет в температурную зависимость запрещенной зоны. Анализ спектра $\{\partial E_g / \partial n_i\}$ показывает, что решающее влияние на поведение $E_g(T)$ для всех рассмотренных УНТ типа “цепочка” оказывает самая низкоэнергетическая “эллиптическая” или “сплюнывающаяся” мода (*squashing mode*) (см. рис. 4). Для этой моды коэффициенты $\partial E_g / \partial n_i$ заметно уменьшаются (увеличиваются по абсолютному значению) при движении в сторону увеличения диаметра УНТ.

Специфика этой моды такова, что она не меняет длину тех π -связей цепочки, которые параллельны оси нанотрубки, но единным образом меняет длину связей, расположенных под углом к ее оси (см. рис. 4a). Таким образом, меняется отношение длин

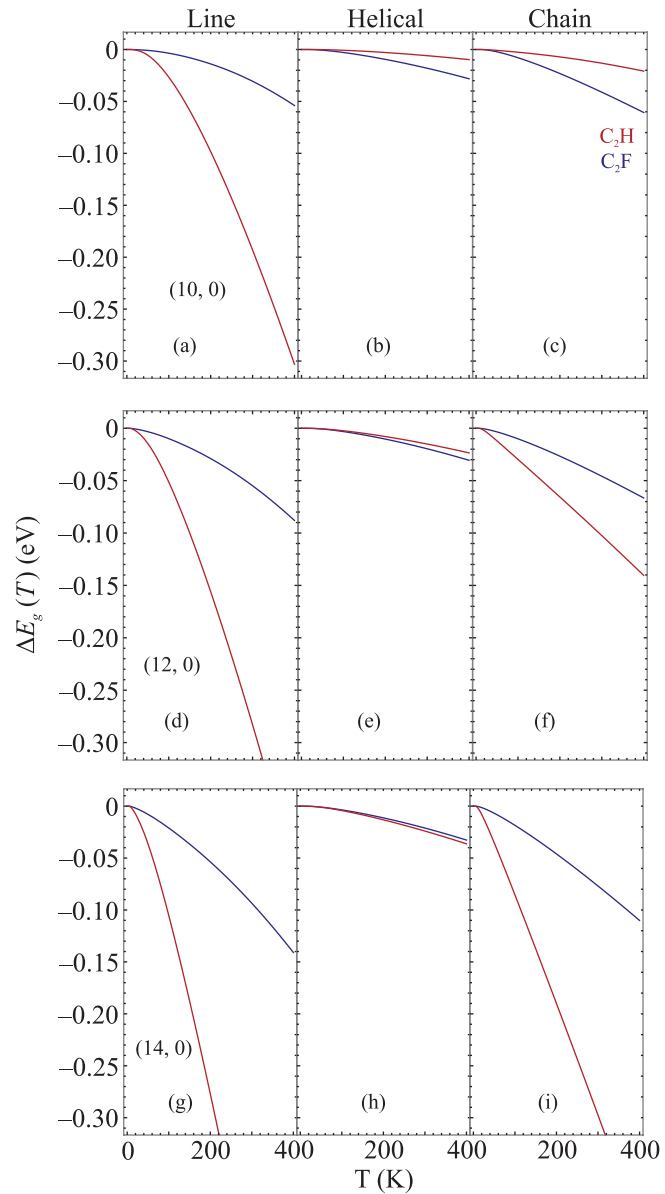


Рис. 3. (Цветной онлайн) $\Delta E_g(T)$ для трубок (10, 0) – (a)–(c); (12, 0) – (d)–(f) и (14, 0) – (g)–(i). Красная линия соответствует структурам C_2H , синяя – C_2F . Графики расположены слева направо в порядке “линия”, “спираль”, “цепочка”

последовательно чередующихся связей, и, соответственно, интегралов пересека. Иными словами, меняется степень альтернирования цепочки. Причем, как видно из рис. 4a, альтернирование для одних цепочек может уменьшаться, а для других, в то же время, увеличиваться в зависимости от того, в какой точке “эллипса” они расположены. Энергия “эллиптической” моды уменьшается с ростом ее “длины волны”, которая ограничена периметром поперечного сечения нанотрубки. Согласно (1), уменьшение

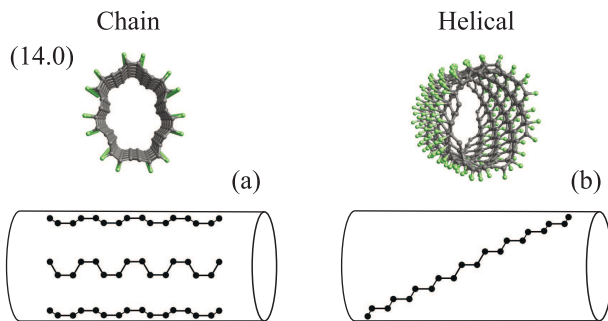


Рис. 4. (Цветной онлайн) Изображение наиболее низкоэнергетической “эллиптической” оптической моды для УНТ типа “цепочка” и “спираль”, а также схема деформации соответствующих альтернированных цепочек

энергии данной моды приводит к увеличению соответствующего ей искажения и, как итог, к существенному изменению степени альтернирования и, соответственно, более значительному изменению запрещенной зоны.

В итоге, при увеличении диаметра УНТ типа “цепочка” поведение $E_g(T)$ меняется критическим образом: от характерного для чистых нанотрубок до поведения, характерного для нанотрубок типа “линия”, где полиацетиленоподобные альтернированные цепочки вообще отсутствуют.

Расчеты показали, что зависимость $\Delta E_g(T)$ в трубках типа “спираль” весьма слабая, почти не зависит от типа примеси и близка к таковой у чистых УНТ. Анализ величин $\{\partial E_g / \partial n_i\}$ показывает, что весь спектр значений заметно ниже в сопоставлении с предыдущими случаями, т.е. электрон-фононное взаимодействие подавлено для всех мод. Температурная зависимость запрещенной зоны в УНТ типа “спираль” почти не зависит от ее диаметра. “Эллиптическая” мода здесь не имеет такого существенного влияния, как для трубок типа “цепочка”, поскольку здесь связанное с ней искажение решетки приводит не к строго последовательному чередованию длин π -связей, а к гладкой модуляции длин “поперечных” связей транс-конфигурированной цепочки с периодом, равным половине длины одного витка намотки цепочки, как показано на рис. 4б. Подобное растянутое искажение цепочки не оказывает столь заметного влияния на значение величины запрещенной зоны, как в случае альтернирования.

Заключение. Мы рассмотрели температурную динамику запрещенной зоны для УНТ типа “зиг-заг” с максимальной (пятидесятипроцентной) концентрацией ковалентной примеси. В качестве ковалентной примеси рассматривались фтор и водород, которые одновалентны и образуют схожие струк-

туры. Во всех случаях обнаружено поведение, характерное для объемных полупроводников, а именно, строгое уменьшение величины запрещенной зоны с ростом температуры. Особенности для случая $(m - n) \bmod 3 = 2$, характерной для чистых УНТ, в случае дopedированных УНТ не обнаружено. Оказалось, что как значение запрещенной зоны, так и функция $\Delta E_g(T)$ могут критическим образом зависеть от таких факторов, как способ размещения примеси, тип ковалентной примеси и диаметр УНТ. Специфика поведения $\Delta E_g(T)$ обусловлена тем, что в УНТ образуются либо разделенные димеры, либо цепочки атомов углерода с цис- или транс-конфигурацией, электронное поведение которых обусловлено π -электронами углерода, а колебательное поведение определяется цилиндрическим оставом трубки. В УНТ типа “линия” наклон $\Delta E_g(T)$ намного больше случая чистых УНТ, и строго зависит как от типа примеси F/H, так и от диаметра. В УНТ типа “спираль” наклон мал и сравним с таковым у чистых УНТ. Зависимость от типа примеси и диаметра трубы крайне слабая. Интересен тот факт, что вариант дopedирования “спираль” в случае C_2F является наиболее стабильным [8]. В УНТ типа “цепочка” наблюдается заметный рост наклона $\Delta E_g(T)$ с увеличением диаметра, что связано с критическим влиянием “эллиптической” фононной моды на параллельные оси УНТ цис-конфигурированные цепочки. Влияние замены F/H в этом случае также значительно.

Таким образом, дopedированные УНТ предоставляют уникальные возможности для создания полупроводников с настраиваемой в широких пределах температурной зависимостью запрещенной зоны. Для структур, где важна температурная стабильность E_g и ее малая величина (канал полевого транзистора), предпочтительными будут УНТ типа “спираль” и “линия” с малым диаметром. Для приложений, где решающую роль играет температурная чувствительность (датчик температуры, сенсор ИК излучения) могут быть использованы УНТ типа “линия” и “цепочка” большого диаметра. Отметим также уникальность фторированных и гидрированных УНТ с точки зрения базы для создания одномерных полиацетиленоподобных цепочек. Для сравнения, в графене формирование одномерных цепочек путем, к примеру, фторирования будет затруднено, так как его наиболее стабильной стехиометрией является CF [10].

1. L. Qian, Y. Xie, S. Zhang, and J. Zhang, Matter **3**, 664 (2020).

2. R. D. Yamaletdinov, V. L. Katkov, Y. A. Nikiforov, A. V. Okotrub, and V. A. Osipov, Advanced Theory and Simulations **3**(4), 1900199 (2020).
3. L. A. Chernozatonskii, P. B. Sorokin, and A. A. Artukh, Russ. Chem. Rev. **83**, 251 (2014).
4. J. E. Johns and M. C. Hersam, Acc. Chem. Res. **46**(1), 77 (2013); PMID: 23030800.
5. R. B. Capaz, C. D. Spataru, P. Tangney, M. L. Cohen, and S. G. Louie, Phys. Rev. Lett. **94**, 036801 (2005).
6. E. T. Mickelson, I. W. Chiang, J. L. Zimmerman, P. J. Boul, J. Lozano, J. Liu, R. E. Smalley, R. H. Hauge, and J. L. Margrave, J. Phys. Chem. B **103**(21), 4318 (1999).
7. G. Seifert, T. Köhler, and T. Frauenheim, Appl. Phys. Lett. **77**, 1313 (2000).
8. K. N. Kudin, H. F. Bettinger, and G. E. Scuseria, Phys. Rev. B **63**, 045413 (2001).
9. C. W. Bauschlicher, Nano Lett. **1**(5), 223 (2001).
10. M. de Avila Ribas, A. K. Singh, P. B. Sorokin, and B. I. Yakobson, Nano Res. **4**, 143 (2010).
11. S. Poncé, G. Antonius, Y. Gillet, P. Boulanger, J. Laflamme Janssen, A. Marini, M. Côté, and X. Gonze, Phys. Rev. B **90**, 214304 (2014).
12. J.-M. Lihm and C.-H. Park, Phys. Rev. B **101**, 121102 (2020).
13. M. Zacharias and F. Giustino, Phys. Rev. B **94**, 075125 (2016).
14. M. Zacharias and F. Giustino, Phys. Rev. Res. **2**, 013357 (2020).
15. M. Zacharias and P. C. Kelires, J. Phys. Chem. Lett. **12**, 9940 (2021).
16. F. Karsai, M. Engel, E. Flage-Larsen, and G. Kresse, New J. Phys. **20**, 123008 (2018).
17. Y. Zhang, Z. Wang, J. Xi, and J. Yang, J. Phys. Condens. Matter **32**, 475503 (2020).
18. H. Shang and J. Yang, J. Chem. Phys. **158**, 130901 (2023).
19. B. Monserrat, Phys. Rev. B **93**, 014302 (2016).
20. B. Hourahine, B. Aradi, V. Blum et al. (Collaboration), J. Chem. Phys. **152**, 124101 (2020).
21. S. Grimme, C. Bannwarth, and P. Shushkov, J. Chem. Theory Comput. **13**, 1989 (2017).
22. O. Dubay and G. Kresse, Phys. Rev. B **67**, 035401 (2003).
23. A. Croy, E. Unsal, R. Biele, and A. Pecchia, J. Comput. Electron. **22**, 1231 (2023).